

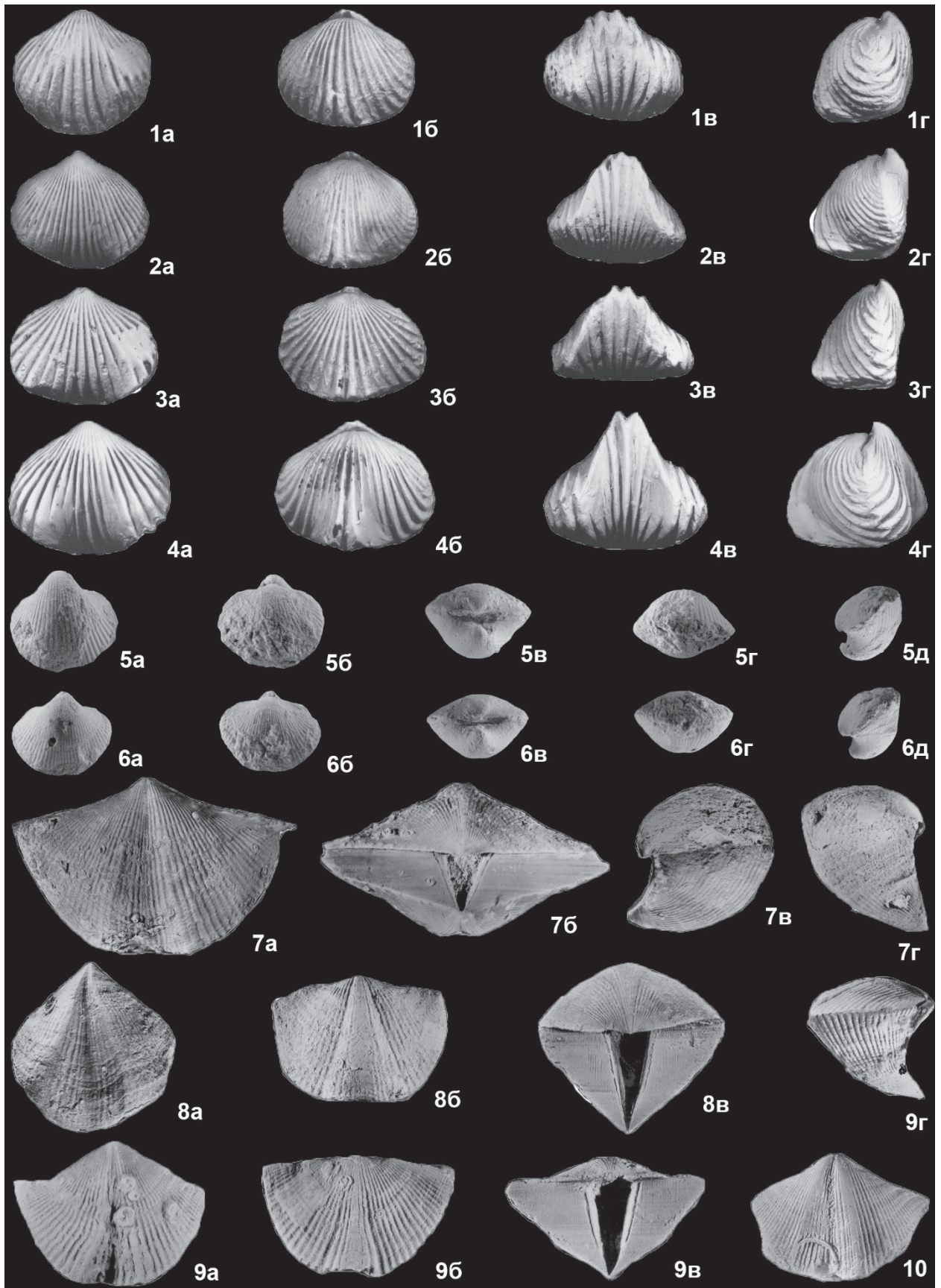
**КАТАЛОГ ФАУНЫ РАЗРЕЗОВ СРЕДНЕГО И
ВЕРХНЕГО ДЕВОНА: БРАХИОПОДЫ, ОСТРАКОДЫ,
КОНОДОНТЫ И ПОЗВОНОЧНЫЕ**

БРАХИОПОДЫ

Таблица I

- Фиг. 1. *Ripidiorhynchus aldogus* (Nalivkin, 1941), голотип ЦНИГР № 49/ 6993, брюшная, спинная створки, вид спереди и сзади, псковские слои, р. Сясь. д. Коноплянкина, х 1,5.
- Фиг. 2–4. *Ripidiorhynchus livonicus* (Buch, 1834): 2 – ЦНИГР № 47/6993, брюшная, спинная створки, вид спереди и сзади, чудовские слои, р. Великая, Выбутские пороги, х 1,5. 3 – ЦНИГР № 43/6993, брюшная, спинная створки, вид спереди и сзади, чудовские слои, р. Кереть, д. Луки, х 1,5. 4 – ЦНИГР № 37/6993, брюшная, спинная створки, вид спереди и сзади, псковские слои, р. Великая, х 1,5.
- Фиг. 5, 6. *Theodossia svinordensis* Nal., порховские слои, г. Порхов, карьер, х 1,5: 5 – обр. 5157/6-0, брюшная, спинная створки, вид спереди и сбоку, 6 – обр. 5157/6-1, вид со стороны брюшной, спинной створок, вид спереди и сбоку.
- Фиг. 7, 8. *Cyrtospirifer schelonius* Nalivkin, 1941: 7 – ЦНИГР № 88/6993, брюшная створка, вид спереди и сбоку, свинордские слои, р. Колошка. д. Свинорд, х 1. 8 – ЦНИГР № 88/6993, брюшная, спинная створки, вид спереди и сзади, свинордские слои, р. Колошка. д. Свинорд, х 1.
- Фиг. 9. *Cyrtospirifer tenticulum* (Verneuil, 1845), ЦНИГР № 93/6993, брюшная, спинная створки, вид сзади, и сбоку, бургские слои, д. Буреге, юж. берег оз. Ильмень, х 1,5.
- Фиг. 10. *Cyrtospirifer tschudovi* Nalivkin, 1941, ЦНИГР № 1/6993 брюшная створка, чудовские слои, р. Великая, х 1.

Таблица I



ОСТРАКОДЫ

Таблица II

- Фиг. 1. *Paraparchites calculus* (Glebovskaja et Zaspelova in Zaspelova, 1959). Раковина, вид справа. Обр. 6/4; порховские слои, punctata Zone.
- Фиг. 2. *Palaeosopina* gen. et sp. indet. Раковина, вид слева. Обр. 5/3; дубниковские слои, transitans Zone.
- Фиг. 3. *Buregia* aff. *depressa* Polenova, 1953. Раковина, вид слева. Обр. 5158-O2; чудовские слои, transitans Zone.
- Фиг. 4. *Subtella* cf. *deca* Zaspelova 1952. Раковина, вид слева. Обр. i5/207; порховские-свинордские слои, punctata Zone.
- Фиг. 5. *Pseudonodella* cf. *nodosa* Zaspelova 1952. Раковина, вид справа. Обр. 5/4; дубниковские слои, transitans Zone.
- Фиг. 6. *Nodella* aff. *tichonovichi* Zaspelova, 1952. Раковина самца?, вид слева. Обр. i6/44; порховские слои, punctata Zone.
- Фиг. 7, 8. *Nodella* aff. *dobroljubovi* Schishkinskaja, 1968. 7. Раковина самца, вид справа. Обр. 5/1; дубниковские слои, transitans Zone. 8. Раковина самки, вид слева. Обр. 5/1; дубниковские слои, transitans Zone.
- Фиг. 9–11. *Nodella conotuberculata* Zaspelova, 1952. 9. Левая створка самки, вид сбоку. 10. Левая створка самца, сбоку. 11. Правая створка самца, вид сбоку. Обр. 5157/2, порховские слои, punctata Zone.
- Фиг. 12. *Neodrepanella tricornis* (Batalina, 1941). Правая створка, вид сбоку. Свинордские слои, punctata Zone.
- Фиг. 13–15. *Tetracornella tetraspinosa* Zaspelova, 1952. 13. Левая створка самца, вид сбоку. Обр. 6/4; порховские слои, punctata Zone. 14. Левая створка самца, вид сбоку. Обр. i5/202; порховские слои, punctata Zone. 15. Правая створка самки, вид сбоку. Свинордские слои, punctata Zone.
- Фиг. 16. *Tetracornella formosa* Zaspelova, 1952. Левая створка самки, вид сбоку. Скв. No 5, обр. i5/205; punctata Zone.
- Фиг. 17, 18. *Tetracornella* cf. *glebovskaja* Zaspelova, 1952. 17. Левая створка самки, вид сбоку. Обр. 5157/2; порховские слои, punctata Zone. 18. Левая створка самца, вид сбоку. Обр. 6/4; порховские слои, punctata Zone.
- Фиг. 19. *Tetracornella* sp. n. 2, aff. *schelonica* Zaspelova, 1952. Правая створка, вид сбоку. Обр. 5157/2; порховские слои, punctata Zone.
- Фиг. 20, 21. *Tetracornella schelonica* Zaspelova, 1952. 20. Правая створка, вид сбоку. Обр. 6/4; порховские слои, punctata Zone. 21. Левая створка, сбоку. Обр. i6/44; порховские – свинордские слои, punctata Zone.

Масштабная линейка – 100 мкм

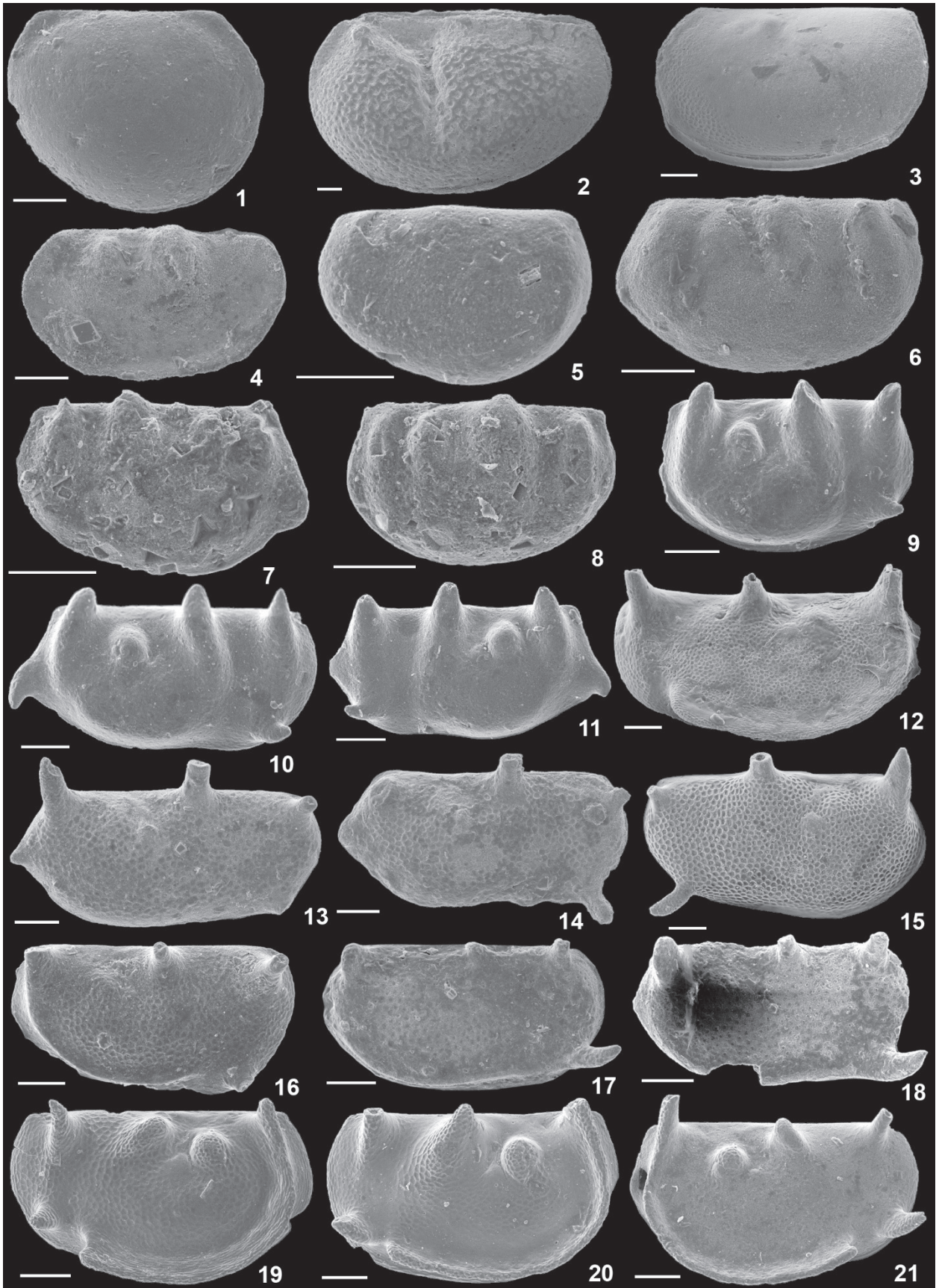


Таблица III

- Фиг. 1. *Neodrepanella gnedensis* Zaspelova, 1952. Правая створка, вид сбоку. Обр. 5159; порховские слои, *punctata* Zone.
- Фиг. 2. *Neodrepanella* cf. *prisca* Zaspelova, 1952. Левая створка, вид сбоку. Обр. 5/1; дубниковские слои, *transitans* Zone.
- Фиг. 3. *Neodrepanella* sp. Правая створка, вид сбоку. Свинордские слои, *punctata* Zone.
- Фиг. 4. *Indivisia semilukiana* Egorov, 1954. Раковина самки, вид справа. Свинордские слои, *punctata* Zone.
- Фиг. 5, 6. *Knoxina* cf. *alexandrovae* (Egorov, 1950). 5. Левая створка самца, вид сбоку. Скв. No 6, обр. i6/44; *punctata* Zone. 6. Правая створка самца, вид сбоку. Свинордские слои, *punctata* Zone.
- Фиг. 7. *Knoxina* aff. *costata* (Zaspelova, 1959). Раковина самца, вид слева. Скв. No 5, обр. i5/201; порховские слои, *punctata* Zone.
- Фиг. 8. *Mennerites svinordensis* Egorov, 1950. Левая створка самца, вид сбоку. Свинордские слои, *punctata* Zone.
- Фиг. 9. *Mennerites* aff. *svinordensis* Egorov, 1950. Раковина самца, вид слева. Обр. 6/2; порховские слои, *punctata* Zone.
- Фиг. 10, 11. *Kloedenellitina pseudosygmaeformis* Egorov, 1950. 10. Раковина самки, вид слева. 11. Правая створка самки, вид сбоку. Свинордские слои, *punctata* Zone.
- Фиг. 12, 13. *Mennerella tuberosa* Glebovskaja et Zaspelova in Egorov, 1950. Раковины личинки и самца, вид слева. Свинордские слои, *punctata* Zone.
- Фиг. 14. *Mennerella porezkyae* Egorov, 1950. Раковина самца, вид слева. Обр. 6/2; порховские слои, *punctata* Zone.
- Фиг. 15. *Uchtovia elongata* Glebovskaja et Zaspelova in Egorov, 1950. Раковина самца, вид слева. Скв. No 5, обр. i5/207; *punctata* Zone.
- Фиг. 16. *Timanella* sp. 2. Раковина самца, вид слева. Р. Колошка; свинордские слои, *punctata* Zone.
- Фиг. 17. *Cavellina* cf. *chvorostanensis* Polenova, 1953. Раковина самки, вид справа. Псковские слои, *transitans* Zone.
- Фиг. 18. *Cavellina batalinae* Zaspelova, 1959. Раковина самки, вид справа. Псковские слои, *transitans* Zone.
- Фиг. 19. *Acratia* cf. *pskovensis* Egorov, 1953. Раковина, вид справа. Изборский карьер, обр. 5158/O2; чудовские слои, *transitans* Zone.
- Фиг. 20. *Acratia* cf. *tschudovoensis* Zaspelova, 1959. Раковина, вид справа. Изборский карьер, обр. 5158/O2; чудовские слои, *transitans* Zone.
- Фиг. 21. *Heladianella* cf. *svinordensis* Glebovskaja and Zaspelova, 1959. Раковина, вид справа. Р. Колошка; свинордские слои, *punctata* Zone.

Масштабная линейка – 100 мкм

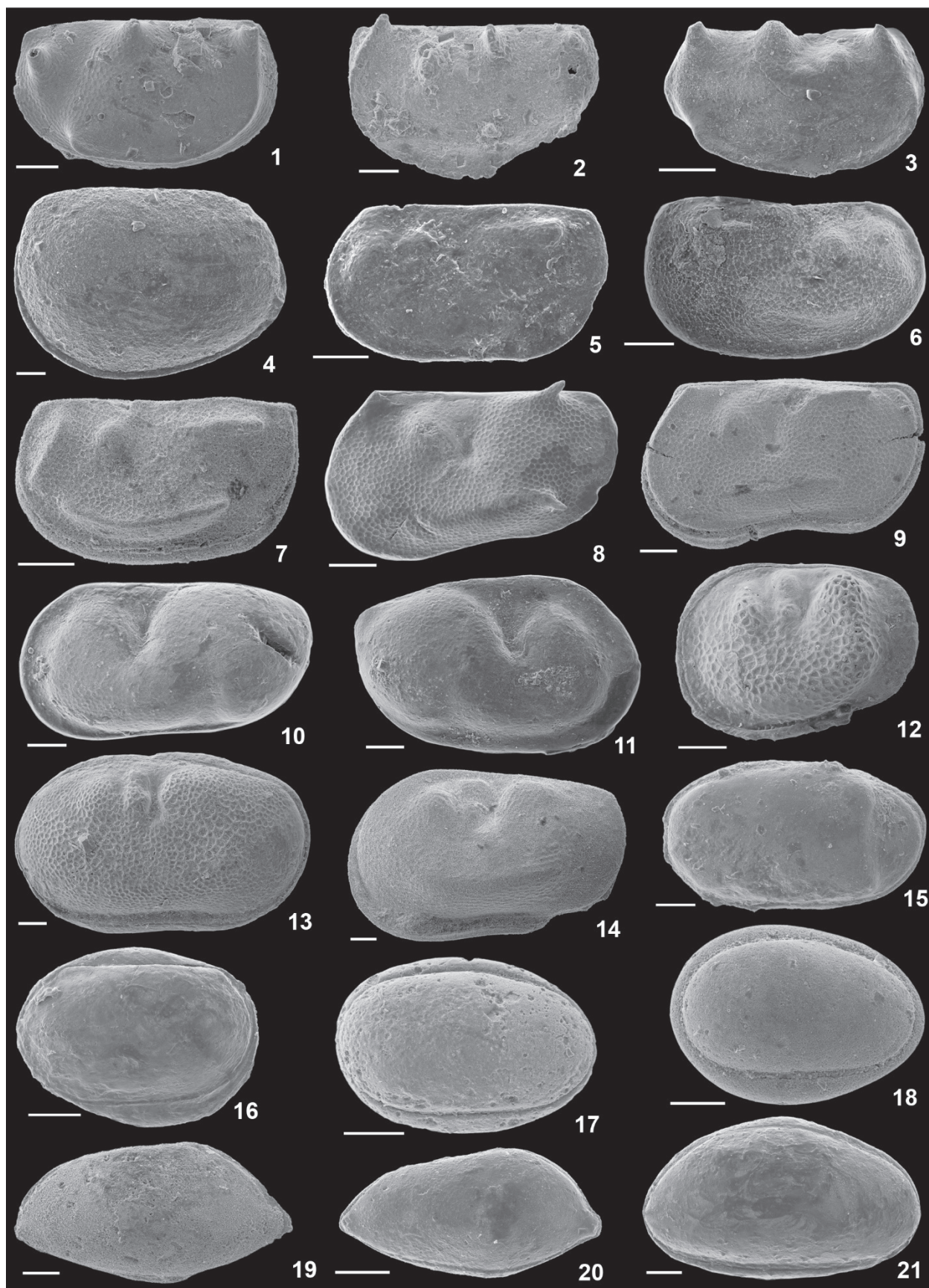
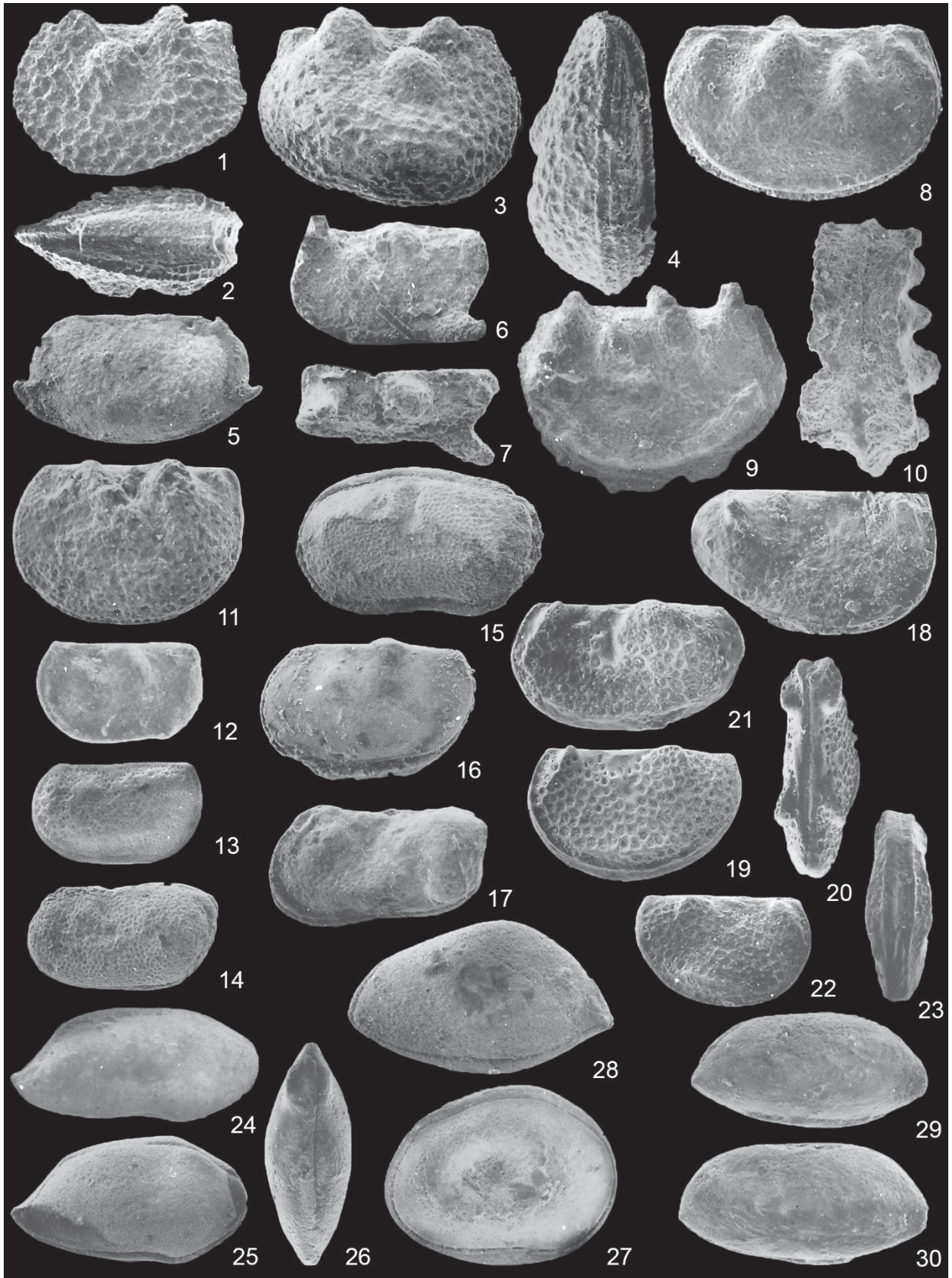


Таблица IV

- Фиг. 1, 2. *Kozlowskiella?* sp. 2. Раковина самца № 16/13003, вид справа и с брюшного края, обр. 1032/6.
- Фиг. 3, 4. *Kozlowskiella?* sp.1. Правая створка самки № 17/13003, вид сбоку и с брюшного края, обр. 1032/7.
- Фиг. 5. *Buregia bispinosa* Zasp. Створка текноморфы № 18/13003, вид сбоку, обр. 1032/6.
- Фиг. 6, 7. *Neodrepanella* aff. *N. tichomirovi* Zasp. Левая створка текноморфы № 19/13003, вид сбоку и со спинного края, обр. 1032/2.
- Фиг. 8. *Acantonodella lutkevichi* Zasp. Раковина самца(?) № 20/13003, вид справа, обр. 1032/4.
- Фиг. 9, 10. *Acantonodella terciocornuta* Zasp. Раковина самки (?) № 21/13003, вид слева и с брюшного края, обр. 1032/2.
- Фиг. 11. *Kozlowskiella?* sp. 1. Левая створка самца № 22/13003, вид сбоку, обр. 1032/10.
- Фиг. 12. *Neodrepanella* cf. *N. parva* Zasp. Раковина самца (?) № 23/13003, вид слева, обр. 5103/8-3.
- Фиг. 13. *Knoxia* sp.1. Раковина текноморфы № 24/13003, вид слева, обр. 5103/8-3.
- Фиг. 14. *Knoxia* sp.2. Раковина самки № 25/13003, вид слева, обр. 5103/8-3.
- Фиг. 15. *Mennerella* sp. Раковина самца № 26/13003, вид слева, обр. 5103/8-3.
- Фиг. 16. *Knoxites* sp. Раковина текноморфы № 27/13003, вид слева, обр. 1032/10.
- Фиг. 17. *Kloedenellitina* cf. *Kl. pseudosygmiformis* Eg. Раковина самки, № 28/13003, вид слева, обр. 5103/8-3.
- Фиг. 18. *Milanovskya bicornis* Gleb. et Zasp. Правая створка самки № 29/13003, вид сбоку, обр. 1032/10.
- Фиг. 19–23. *Milanovskya bicristata* Evd. 19, 20 – раковина самца, голотип № 30/13003, вид слева и со спинного края; 21 – левая створка самки, аллотип № 31/13003, вид сбоку; 22 – раковина текноморфы № 32/13003, вид справа, 23 – раковина текноморфы № 33/13003, вид с брюшного края, обр. 5103/8-3.
- Фиг. 24. *Bairdia* aff. *B. raabena* Eg. Раковина № 34/13003, вид справа, обр. 5103/8-4.
- Фиг. 25, 26. *Bairdia* aff. *B. uchtaensis* Eg. Раковина № 35/13003, вид справа и со спинного края, обр. 5103/8-3.
- Фиг. 27. *Mossolovella philippovae* Eg. Раковина № 36/13003, вид справа, обр. 5103/8-3.
- Фиг. 28. *Acratia* sp. Раковина № 37/13003, вид справа, обр. 5103/8-6.
- Фиг. 29. *Acratia* aff. *A. gassanova* Eg. Раковина № 38/13003, вид справа, обр. 5103/8-3.
- Фиг. 30. *Acratia* cf. *A. buregiana* Eg. Раковина № 39/13003, вид справа, обр. 5103/8-3.



КОНОДОНТЫ

Таблица V

- Фиг. 1. *Youngquistognathus praeangustidiscus* Zhuravlev, x50, 2088/8, пырковская толща, СЗ Пай-Хой.
- Фиг. 2. *Youngquistognathus praeangustidiscus* Zhuravlev, x50, 5174a-1, сясинская свита.
- Фиг. 3. *Polygnathus webbi* Stauffer, x43, 5102/4-4, рдейская свита, ильменские слои.
- Фиг. 4. *Polygnathus* aff. *P. mosquensis* Litvinova, x62, 5102/4-1, рдейская свита, ильменские слои.
- Фиг. 5. *Polygnathus pollocki* Druce, x62, 5103/8-5, бурегская свита.
- Фиг. 6. *Polygnathus pollocki* Druce, x74, 5102/12, бурегская свита.
- Фиг. 7. *Polygnathus praepolitus* Kononova, Alekseev, Barskov et Reimers, x62, бурегская свита.
- Фиг. 8. *Polygnathus lanei* Kuzmin, x49, 5103/12, бурегская свита.
- Фиг. 9. *Youngquistognathus rossicus* (Zhuravlev), x25, 5102/2 (голотип), рдейская свита, ильменские слои.
- Фиг. 10. *Polygnathus* sp. X, x49, 5102/4-1, рдейская свита, ильменские слои.
- Фиг. 11, 13. *Polygnathus efimovae* Kononova, Alekseev, Barskov et Reimers, 5103/9; 11 – x43, 13 – x37; бурегская свита.
- Фиг. 12. *Polygnathus ljaschenkoi* Kuzmin, x74, 5102/8, рдейская свита, ильменские слои.
- Фиг. 14. *Polygnathus reimersi* Kuzmin, x25, СН-1, староизборская свита, чудовские слои.
- Фиг. 15. *Mehlina gradata* Youngquist, x62, 5102/7, рдейская свита, ильменские слои.
- Фиг. 16. *Icriodus subterminus* Youngquist, x92, 5101/3, рдейская свита, ильменские слои.

Таблица V



ИХТИОФАУНА

Таблица VI

Psammosteus maeandrinus Agassiz, 1844:

- Фиг. 1. Одиночный туберкул, ПМ СПбГУ № 75-14, Андомская гора, д. Климовская, ОК-3-5, андомская свита: 1а – вид сбоку, 1б - вид сверху.
- Фиг. 2. Левая брахиальная пластинка, ПИН РАН №220/802, р. Сясь, пр. б., у бывш. д. Монцево, снетогорские слои: 2а – вид сверху, 2б – вид снизу.
- Фиг. 3. Правая брахиальная пластинка, ПИН РАН №220/300, р. Свирь, «Долгая гора», снетогорские слои: 3а – вид снизу, 3б – вид сверху.
- Фиг. 4. Брахиальная пластинка, GMLU 10/25, р. Даугава, бывш. Кокенхузен, Латвия, кокнеская свита.
- Фиг. 5. Правая брахиальная пластинка, СПбГГУ № 342/1 (96), р. Сясь, пр. б., у бывш. д. Монцево, псковские слои.
- Фиг. 6. Правая брахиальная пластинка (неотип), ПИН РАН №220/684, Андомская гора.
- Фиг. 7. Свободная тессера, ПИН РАН №220/684, Андомская гора, д. Климовская, ОК-3-5, андомская свита: 7а – вид сбоку, 7б - внутреннее строение по данным томографии.
- Фиг. 8. Прикрепленная тессера, ПМ СПбГУ № 75-17, р. Сясь, пр. б., у бывш. д. Монцево, снетогорские слои.
- Фиг. 9. Фрагмент центральной пластинки с тессерами, ПИН РАН №220/257, р. Сясь, пр. б., у бывш. д. Монцево, снетогорские слои.
- Фиг. 10. Детали скульптуры брахиальной пластинки СПбГГУ № 23/119, р. Бабина (Новгородская обл.), псковские слои: ряды туберкул, слившихся в гребешки в центральной зоне пластинки.
- Фиг. 11. Детали скульптуры брахиальной пластинки СПбГГУ № 23/119, р. Бабина (Новгородская обл.), псковские слои: ряды туберкул, слившихся в гребешки близ антеро-латерального края пластинки.

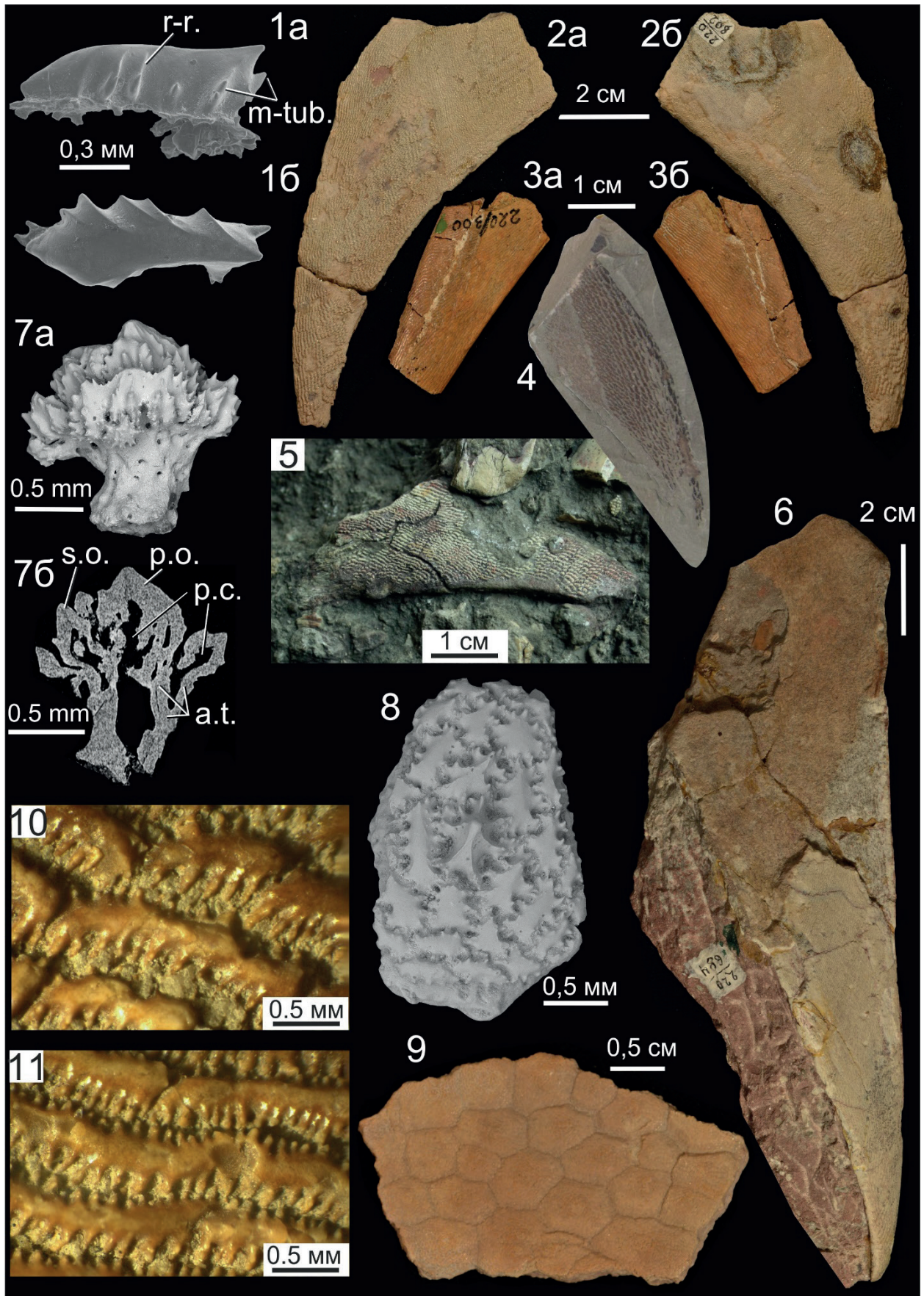


Таблица VII

Pycnosteus palaeformis Preobrazhensky, 1911:

- Фиг. 1. Левая бранхиальная пластинка GIT 116-114, Калласте, вильяндская и курекюльская (?) пачки арукюлаского горизонта: 1а – вид сверху, 1б – вид снизу.
- Фиг. 2. Правая бранхиальная пластинка, вид сверху, ПИН РАН №220/843, р. Луга, д. Старица (Кобыльская Слуда), нижняя часть арукюлаского горизонта.
- Фиг. 3. Дорсальная пластинка, вид сверху, ПИН РАН №220/844, р. Луга, д. Старица (Кобыльская Слуда), нижняя часть арукюлаского горизонта.
- Фиг. 4. Вентральная пластинка, голотип, вид сверху, TUG 1552-6 (Pi 102), г. Тарту, пещеры Арукюла, вильяндская и курекюльская (?) пачки арукюлаского горизонта.
- Фиг. 5. Вентральная пластинка, левая часть, вид сбоку р. Луга, д. Старица (Кобыльская Слуда), нижняя часть арукюлаского горизонта.
- Фиг. 6. Боковая чешуя, PM SPU 66-7, Лен. область, карьер Зайцево, нижняя часть арукюлаского горизонта: 6а - вид сверху, 6б - вид снизу.
- Фиг. 7. Боковая чешуя, PM SPU 66-12, Лен. область, карьер Зайцево, нижняя часть арукюлаской свиты: 7а – вид сверху, 7б – вид снизу.
- Фиг. 8. Коньковая чешуя, вентральная, GIT 116-115, Тарту кладбище, вильяндская и курекюльская (?) пачки арукюлаского горизонта: 8а – вид с внешней стороны, 8б – вид с внутренней стороны.
- Фиг. 9. Детали скульптуры (дентиновые туберкулы) бранхиальной пластинки, дорсальная сторона, GIT 98-1, Тартумаа, пещеры Арукюла, вильяндская и курекюльская (?) пачки арукюлаского горизонта.
- Фиг. 10. Детали скульптуры корнуальной пластинки, PM SPU 69-6, р. Оредеж, пр. берег. Белогорка-1, нижняя часть арукюлаского горизонта.
- Фиг. 11. Дентиновый туберкул, вид сверху PM SPU 87-360, р. Кыпу, Солувески, вильяндская пачка арукюлаского горизонта.
- Фиг. 12. Дентиновый туберкул, вид сбоку, PM SPU 87-365, дорсальная сторона бранхиальной пластинки PM SPU 66-4, у заднего края, р. Оредеж, прав. берег, Сиверская-1, нижняя часть арукюлаского горизонта.
- Фиг. 13. Шлиф через фрагмент дорсальной пластинки PM SPU 87-370, р. Оредеж, прав. берег, Сиверская-1, нижняя часть арукюлаского горизонта.
- Фиг. 14. То же, микроструктура дентинового туберкула.
- Фиг. 15. Общая реконструкция псаммотстеида рода *Pycnosteus*: 15а – вид сверху; 15б – вид снизу. Серым обозначены известные пластинки для рода. Пунктиром – каналы боковой линии. О – орбитальная, Ро – посторбитальная, Кр – комплексная, М – маргинальные, Вг – бранхиальные, С – корнуальные, o.br – жаберное отверстие, D – дорсальная, V – вентральная.

Сокращения: a.t. - аспидиновые трабекулы; d.c. - дентиновые каналцы; d.tub. - дентиновые туберкулы; L1-ретикулярный слой губчатого слоя; L2- основной губчатый слой; L3-ламеллярный слой (изопедин); m.c.-краевые лучи 1-ого порядка, m-t. - микротуберкулы; gat. - краевые лучи 2-ого порядка; r.g. - радиальные ребра; sup. - поверхностный слой экзоскелета.

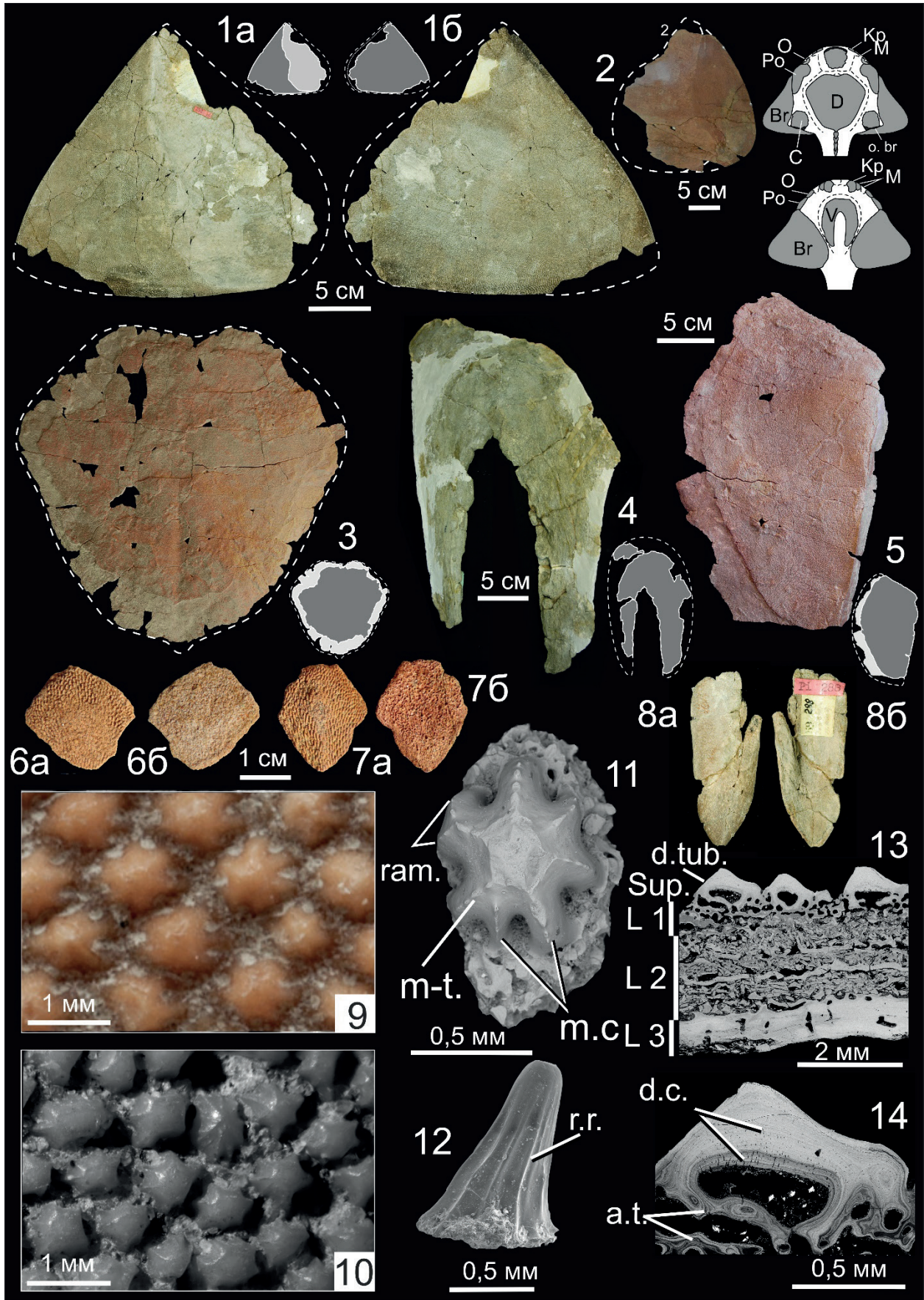


Таблица VIII

А–И, *Cheiracanthoides estonicus* Valiukevičius, 1998; К, Л, *Nostolepis kernavensis* Valiukevičius, 1985; М, Н, *Nodocosta pauli* Gross, 1940. А–Л, чешуи акантод, А–З, К, Л, вид сверху; И, вид снизу спереди. М, Н, плавниковый шип, Н – увеличенный фрагмент шипа. А–И – Россия, Ленинградская область, обнажение на левом берегу р. Поповки в 250 м ниже по течению от моста на Графской дороге; К – Россия, Ленинградская область, обнажение в гроте на правом берегу р. Лемовжа, вблизи деревни Хотнежа; Л – Россия, Ленинградская область, обнажение на правом берегу р. Лемовжи в 4,5 км вверх по течению от устья; М, Н – местонахождение на правом берегу р. Оредеж в поселке Сиверский. Длина масштабной линейки для фиг. А–Л, Н – 100 мкм, для фиг. М – 1 мм.

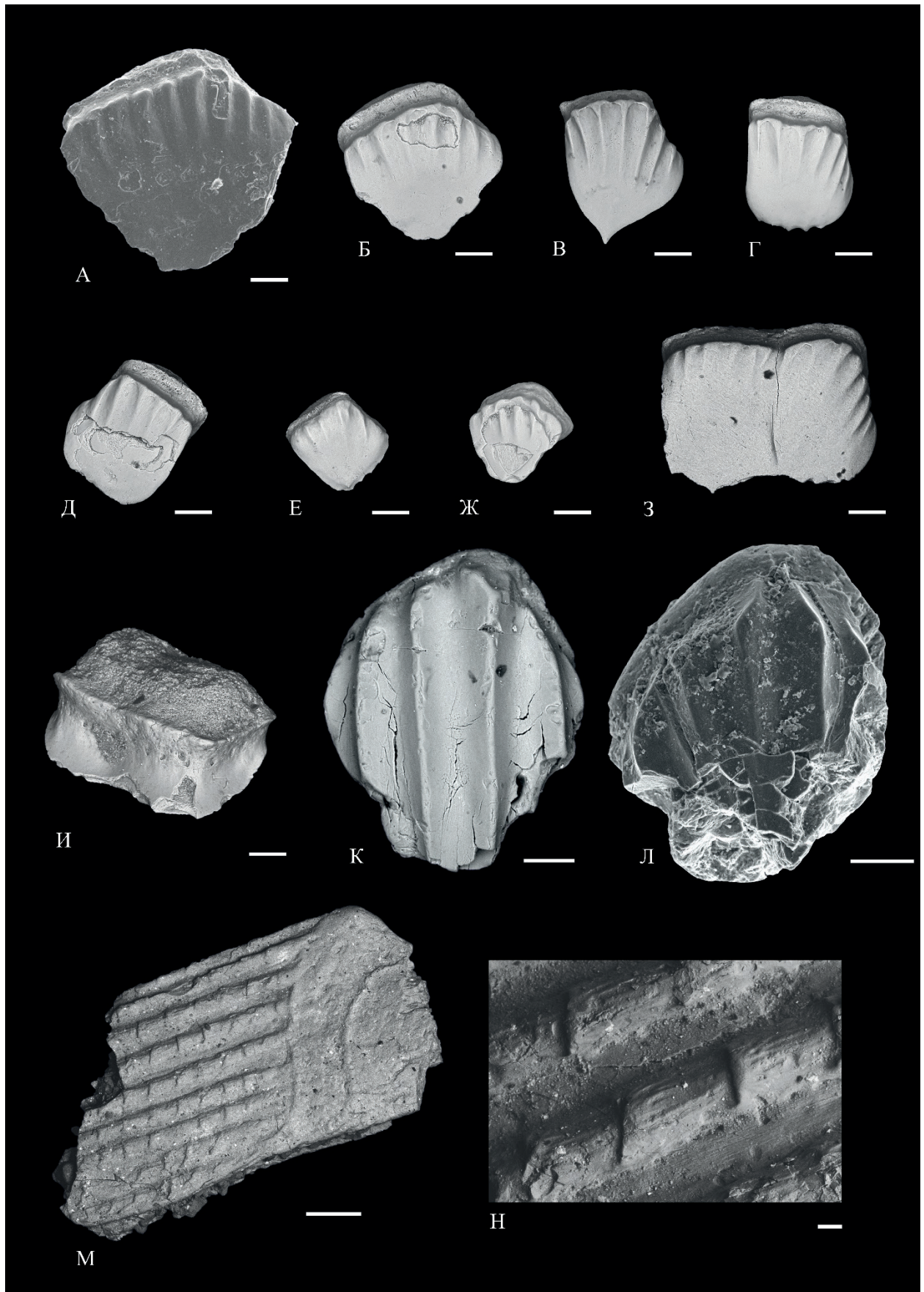


Таблица IX

А, Б, *Ptychodictyon rimosum* Gross, 1973; В, Г, *Diplacanthus gravis* Valiukevičius, 1988; Д, Е, *Rhadinacanthus primaris* Valiukevičius, 1986; Ж, *Rhadinacanthus deltosquamosus* Pinakhina & Märss; З, *Cheiracanthus gibbosus* Valiukevičius, 1986; И, *Cheiracanthus flabelliformis* Pinakhina, 2016; К–М, *Ginkgolepis tenericostatus* Pinakhina & Märss; Н, “*Devononchus*” *concinus* (sensu Valiukevičius, 1998). Чешуи, А–Д, Ж–Н, вид сверху; Е – вид сбоку сверху. А, И – Россия, Ленинградская область, обнажение на правом берегу р. Оредеж в пос. Сиверский; Б – Россия, Ленинградская область, карьер у дер. Зайцево; В, Г, Ж – Россия, Ленинградская область, карьер Новинка; Д, Е – Эстония, карьер Таали, З – Литва, Stačiūnai, скважина 8 (экземпляр из коллекции Ю. Валюквичюса №45-1345). Длина масштабной линейки 100 мкм.

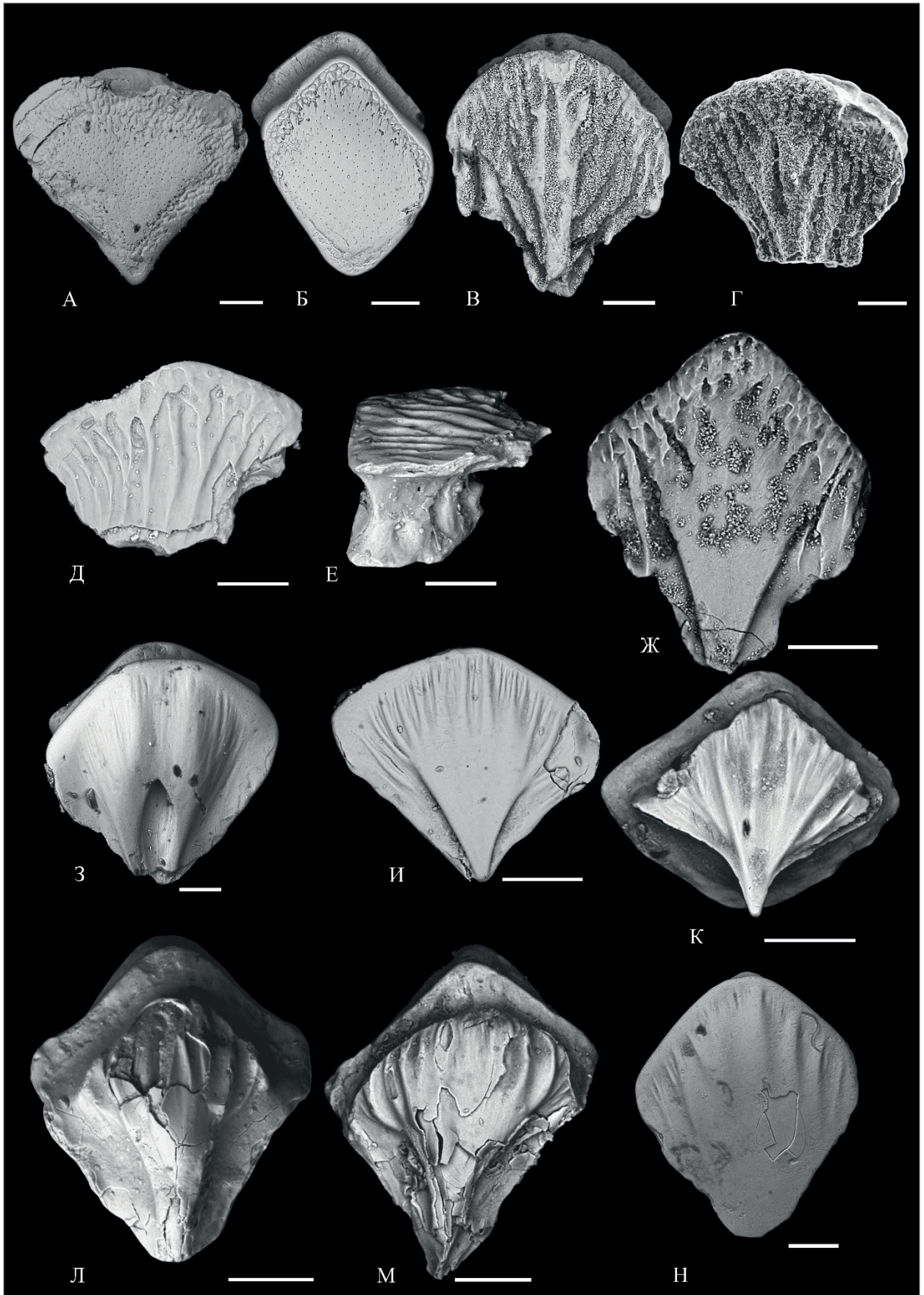


Таблица X

Plourdosteus livonicus (Eastman, 1897)

Все фигуры в натуральную величину.

- Фиг. 1–4 – rostrale: 1, 2 – СПГИ 13/2, р. Пиуза, хут. Ёйкси
Фиг. 3, 4 – р. Оредеж, д. Милодеж; 1, 3 – дорзальный и 2, 4 – висцеральный вид.
Фиг. 5, 6 – pineale, ПИН 128/4, р. Пялиша; 5 – дорзальный и 6 – висцеральный вид.
Фиг. 7, 8 – левое praeorbitale, SMNH P. 8031, р. Гауя; 7 – дорзальный и 8 – висцеральный вид.
Фиг. 9 – centrale, LIG 56-3, р. Пялиша; дорзальный вид.
Фиг. 10–15 – nuchale: 10–12 – GI Pi 1092, р. Пиуза, хут. Ёйкси; 13 – ЦНИГР 1038-2, р. Оредеж, д. Милодеж; 14, 15 – СПГИ 13/3, р. Гауя; 10, 14 – дорзальный, 11, 13, 15 – висцеральный и 12 – латеральный вид.
Фиг. 16–18 – parannuchale: 16, 17 – ПИН 1352/4, р. Оредеж, Ям-Тесово; 18 – СПГИ 13/8, р. Гауя; 16 и 18 – дорзальный вид, 17 – вид сзади.
Фиг. 1, 2, 5–12, 14, 15, 18 – верхний живет, гауйский горизонт; 3, 4, 13, 16, 17 – фран, аматский горизонт.

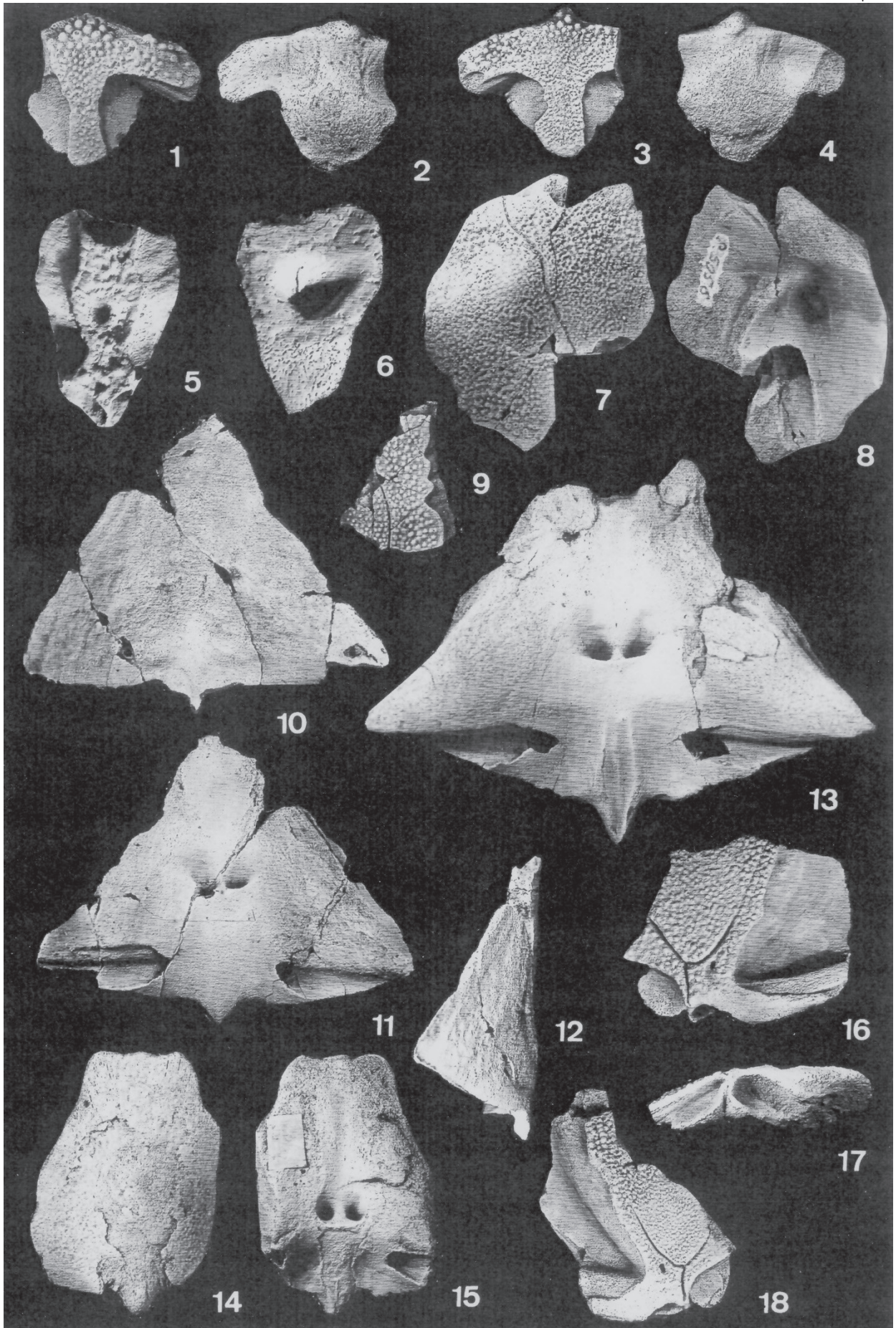


Таблица XI

Plourdosteus livonicus (Eastman, 1897)

Все фигуры в натуральную величину, кроме 4 и 5 – х 2/3

- Фиг. 1-3, 7, 8 – правое anterior dorso-laterale; 1 – 3 – правое, GI Pi 1074, р. Пиуза, хут. Йыкси; 7 – СПГИ 13/19, р. Гауя; 8 – ПИН 54/39, р. Оредеж, д. Ям-Тесово; 1, 7 и 8 – дорзальный и 3 – висцеральный вид, 2 – вид сбоку.
- Фиг. 4, 5 – левое anterior laterale, СПГИ 13/17, р. Гауя; 4 – латеральный и 5 – висцеральный вид.
- Фиг. 6 – левое posterior dorso-laterale, ПИН 54/45, р. Оредеж, д. Ям-Тесово, дорзальный вид.
- Фиг. 9–11 – interlaterale, LDM 39/11, р. Абава; 9 – вентральный, 10 – висцеральный и 11 – передний вид.
- Фиг. 12, 13 – anterior medio-ventrale: 12, 13 - SMNH P. 1231, р. Гауя, хут. Эрмани; 17 – LDM 14/21, р. Абава; 12 – вентральный и 13 – висцеральный вид.
- Фиг. 14–16 – posterior ventro-laterale, вентральный вид: 14 – GI Pi 1311, р. Пиуза, хут. Йыкси; 15 – LIG 15-38, р. Пялиша; 16 – ПИН 54/43, р. Оредеж, д. Ям-Тесово.
- Фиг. 1–5, 7, 9–15 – верхний живот, гауйский горизонт; Фиг. 6, 8, 16 – фран, аматский горизонт.

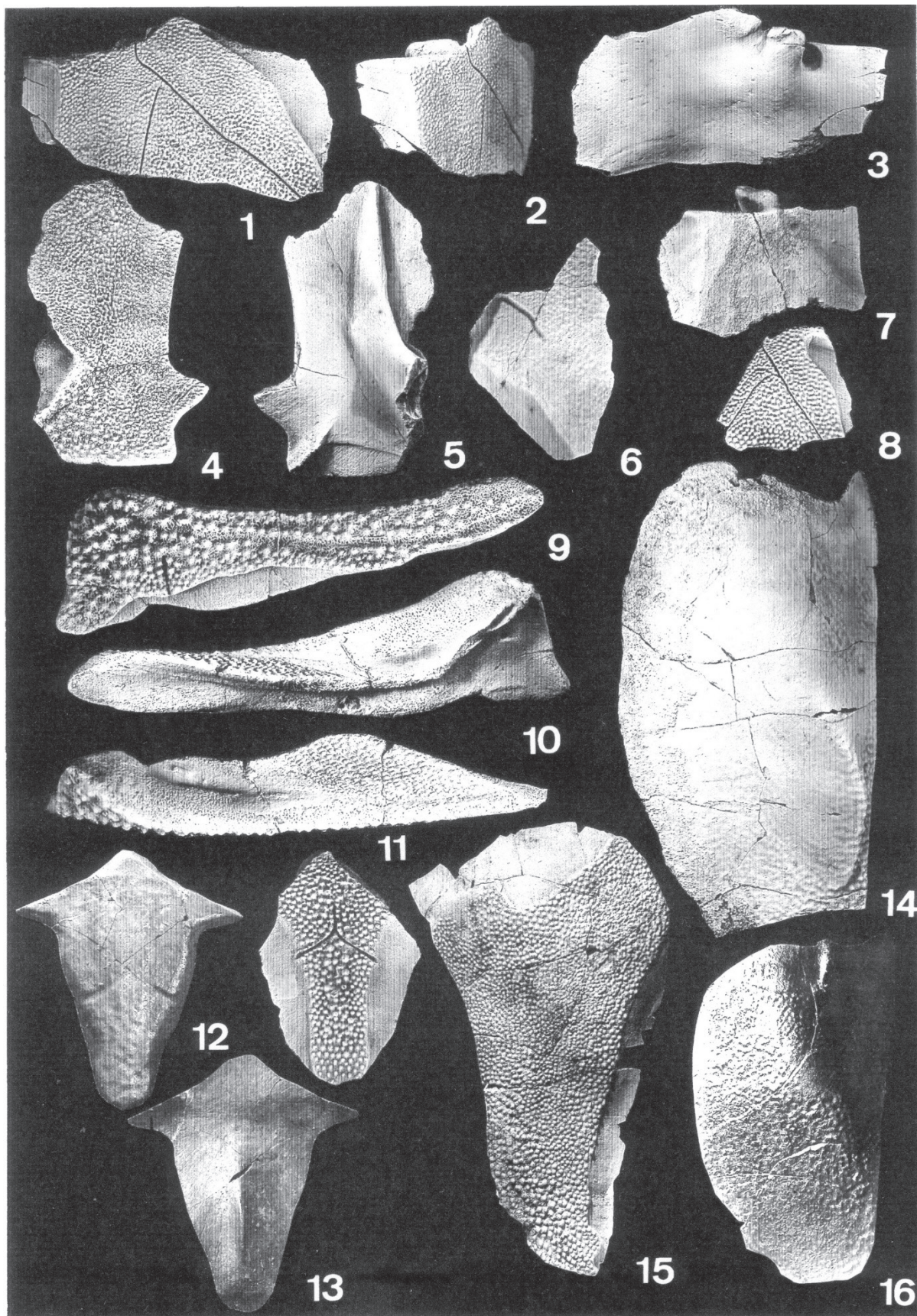


Таблица XII

Eastmanosteus egloni (O. Obruccheva, 1956))

Главное девонское поле, р. Сясь, д. Столбово; верхний девон, франский ярус,
дубниковские слои

- Фиг. 1–4 – крыша черепа, ЛП 17–1: 1 - дорзальный вид, х 0,7, 4 - висцеральный вид, х 0,6,
2–3 – детали: 2 – praeorbitale и postorbitale, косой дорзальный вид, х 0,8, 3 – paranuchale,
дорзо-латеральный вид, х 0,8;
Фиг. 6–8 – фрагмент medio-dorsale, ПИН 54/100, х 1: 6 – дорзальный, 7 – боковой и
8 – висцеральный вид.

Eastmanosteus serratus sp. nov.

- Фиг. 5 – фрагмент крыши черепа ювенильной особи, дорзальный вид, ZPAL P.VI/7, х 1,8;
Польша, Свентокшиские горы, окрестности Лагува, Плущки; верхний девон, франский
ярус, конодонтовая зона Upper gigas.



Таблица XIII

Eastmanosteus egloni (O. Obruccheva, 1956))

Главное девонское поле, р. Сясь, верхний девон, франский ярус, дубниковский горизонт.

Все фигуры - в натуральную величину, кроме 6 и 7 - х 0,67

Фиг. 1–3 – nuchale, GI Pi 1660, д. Юхора : 1 – дорзальный вид, 2 – вид сзади и 3 – висцеральный вид.

Фиг. 4 – левое paranuchale и фрагмент nuchale ПИН 54/97; дорзальный вид, д. Столбово.

Фиг. 5 и 8 – фрагмент nuchale, левого paranuchale и centrale, ПИН 1959/170; д. Столбово; 5 – дорзальный и 8 – висцеральный вид.

Фиг. 6 – правое suborbitale, латеральный вид, голотип, ПИН 54/93; д. Стрельна.

Фиг. 7 – левое suborbitale, висцеральный вид, ПИН 54/94; д. Столбово.

Фиг. 9, 10 – левое posterior dorso-laterale, ЛП 17 – 2; д. Столбово; 9 – латеральный и 10 – висцеральный вид.

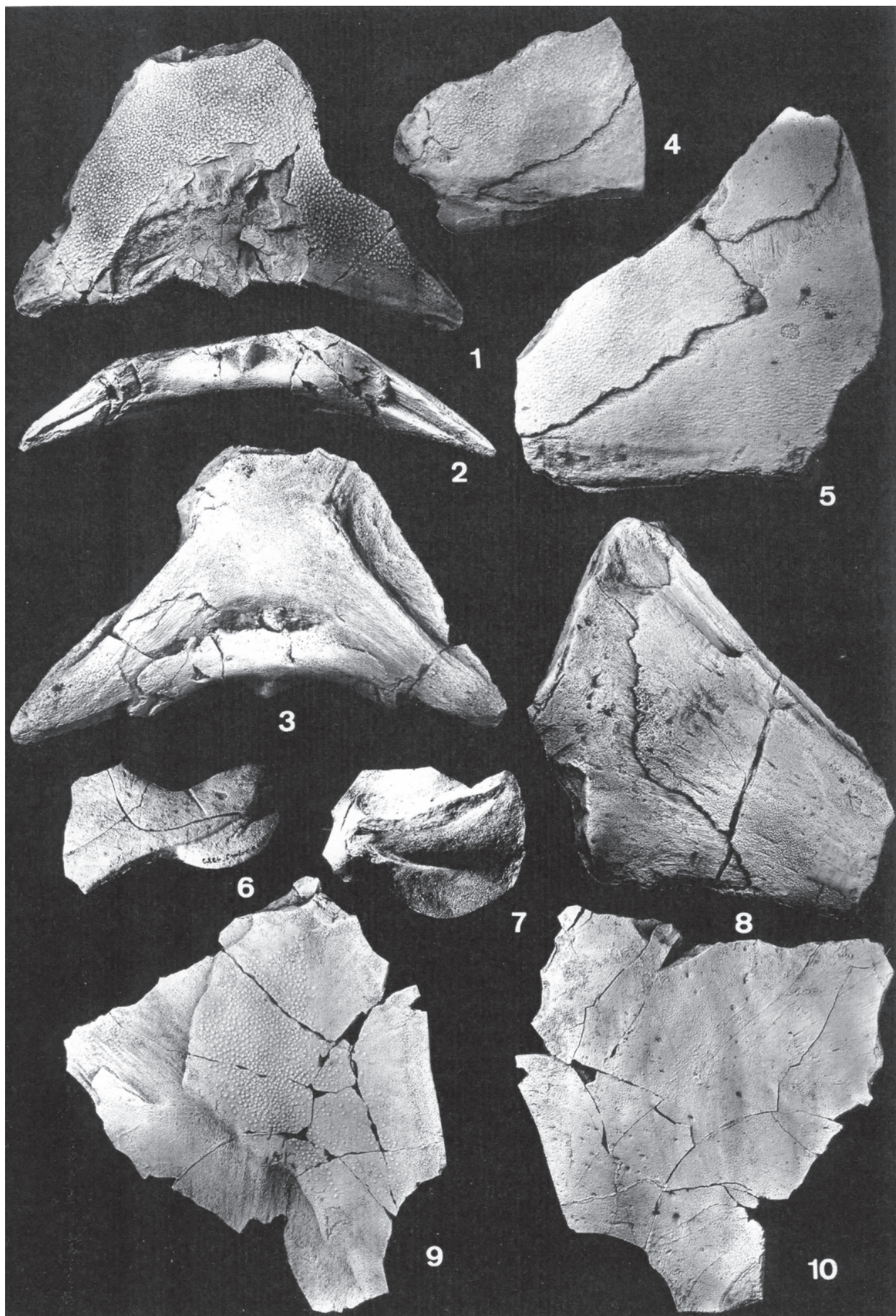


Таблица XIV

Главное девонское поле (Латвия); средний девон, верхний живет

Eastmanosteus cf. pustulosus (Eastman, 1897)

Фиг. 1, 2 – правое parapanuchale и фрагмент nuchale, ПИН 1491/21, х 0,67; р. Абава, хут. Лееи; нижнегауйский горизонт, абавские слои: 1 – дорзальный вид, х 0,47, 2 – висцеральный вид.

Фиг. 3, 4 – правое marginale; СПГИ 17/325 х 0,67; р. Гауя; возможно, гауйский горизонт: 3 – дорзальный и 4 – латеральный вид.

Фиг. 5, 6 – левое anterior laterale, LDM 43/1011, х 0,6; р. Абава, хут. Лееи; 5 – латеральный вид, 6 – вид спереди.

Фиг. 8–10 – medio-dorsale, LDM 88/20, х 0,6; р. Гауя, Гуду клинтис; гауйский горизонт: 8 – вид сзади, 9 – дорзальный и 10 – висцеральный вид.

? *Eastmanosteus cf. pustulosus* (Eastman, 1897)

Фиг. 7 – левое inferognathale, ПИН 802/4, х 0,8; хут. Раксти; нижнегауйский подгоризонт, абавские слои.

